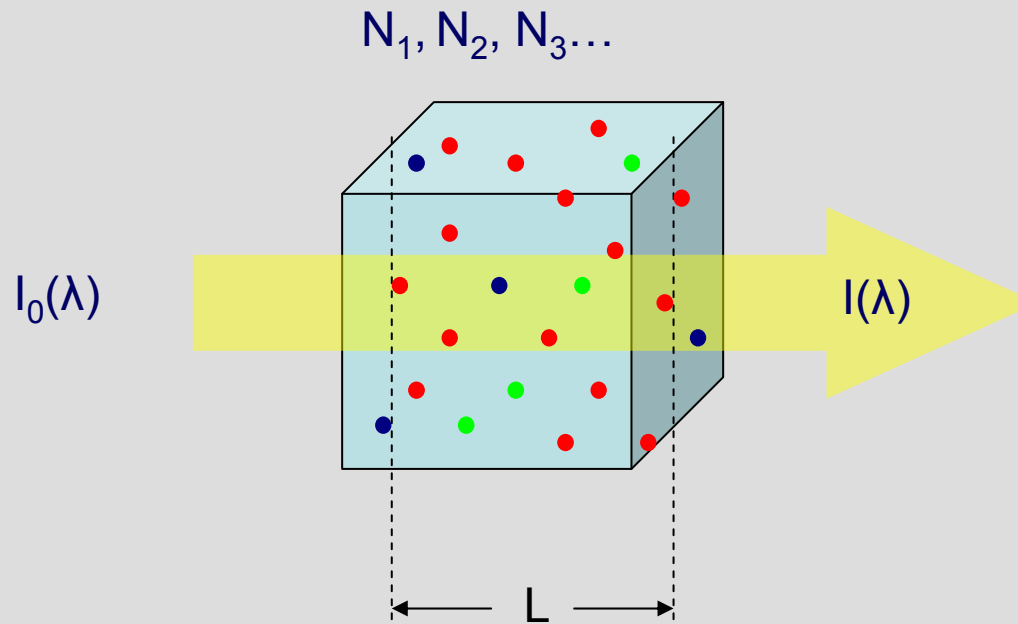


El reto de medir componentes atmosféricos en el rango de las ppt mediante DOAS



Ley de Lambert Beer



$$\ln\left(\frac{I(\lambda)}{I_0(\lambda)}\right) = -\sum_i \sigma_i(\lambda) \int_0^L N_i dx$$

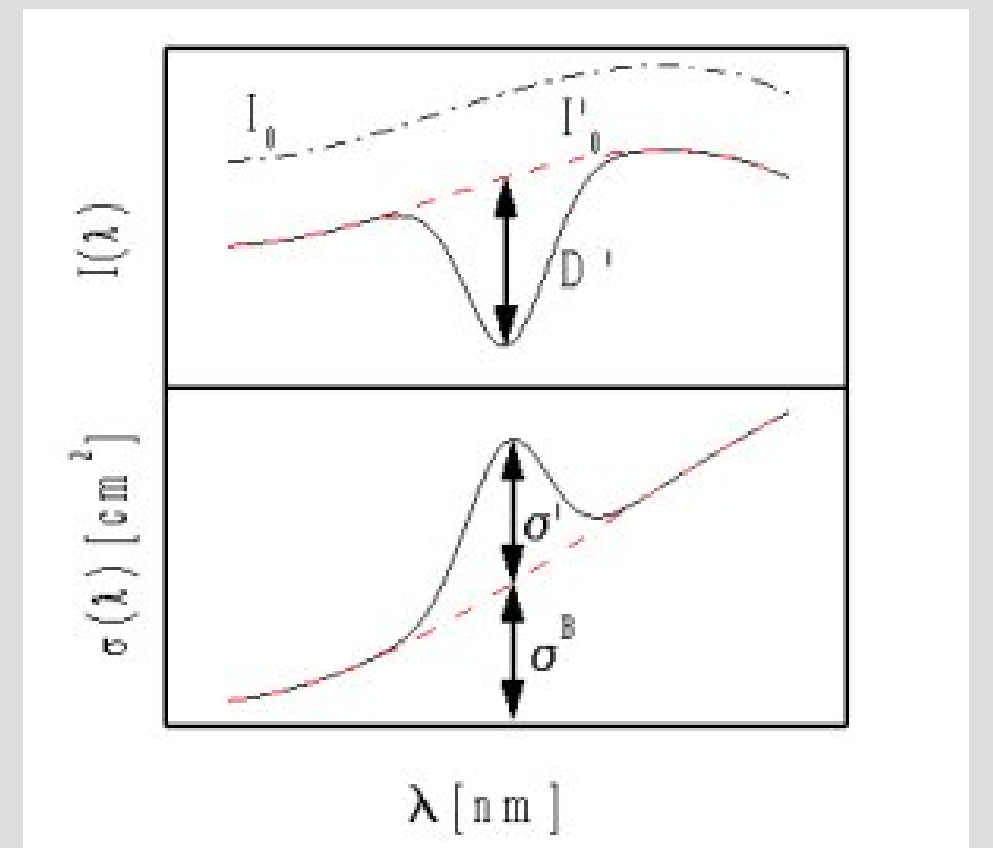
Absorción de cada especie a lo largo del camino óptico
 S_i

Espectroscopía de absorción diferencial

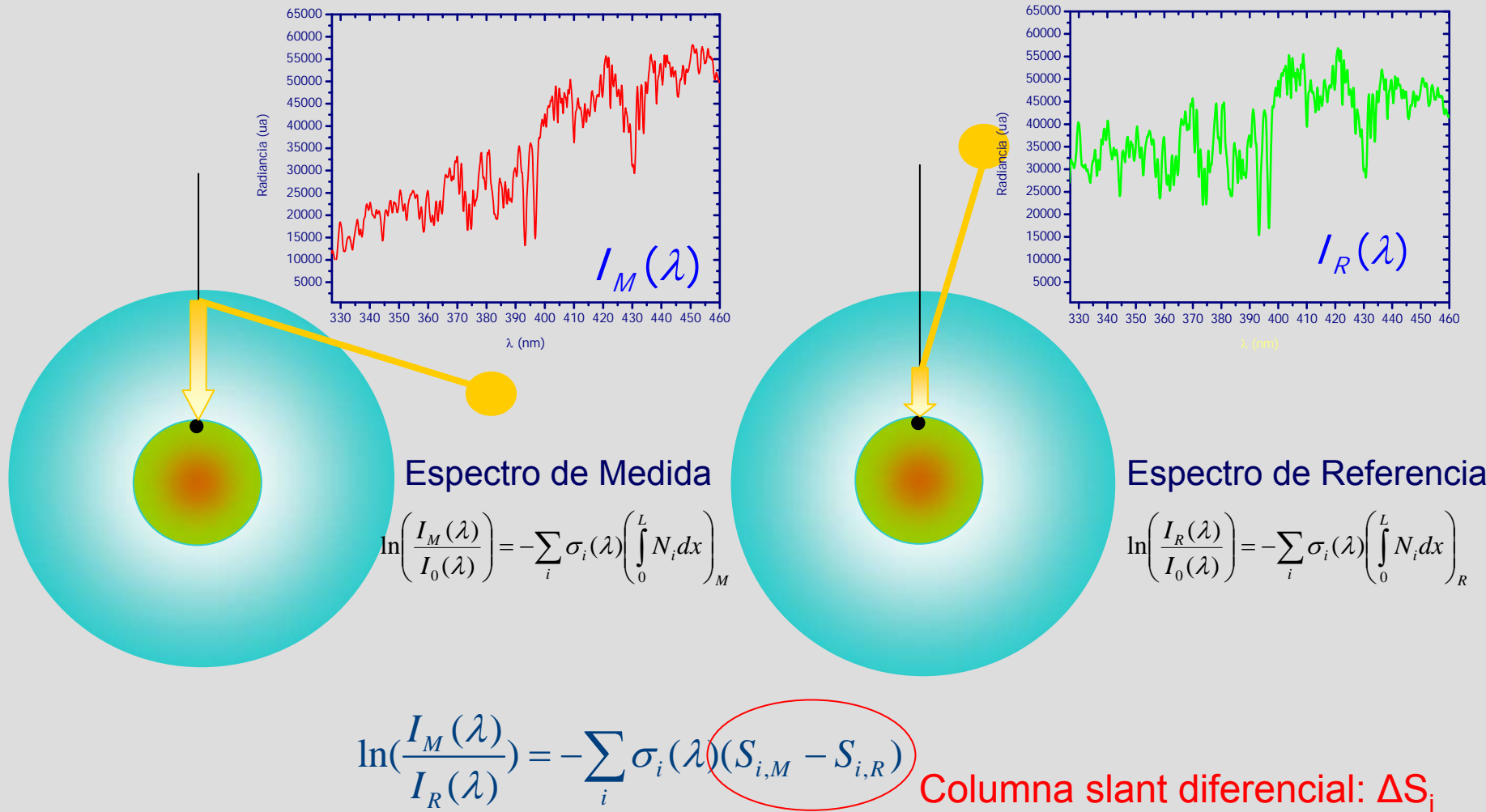
La ley de Lambert Beer no es aplicable directamente a la atmósfera

La atenuación de la luz también se produce por procesos de dispersión con moléculas o aerosoles.

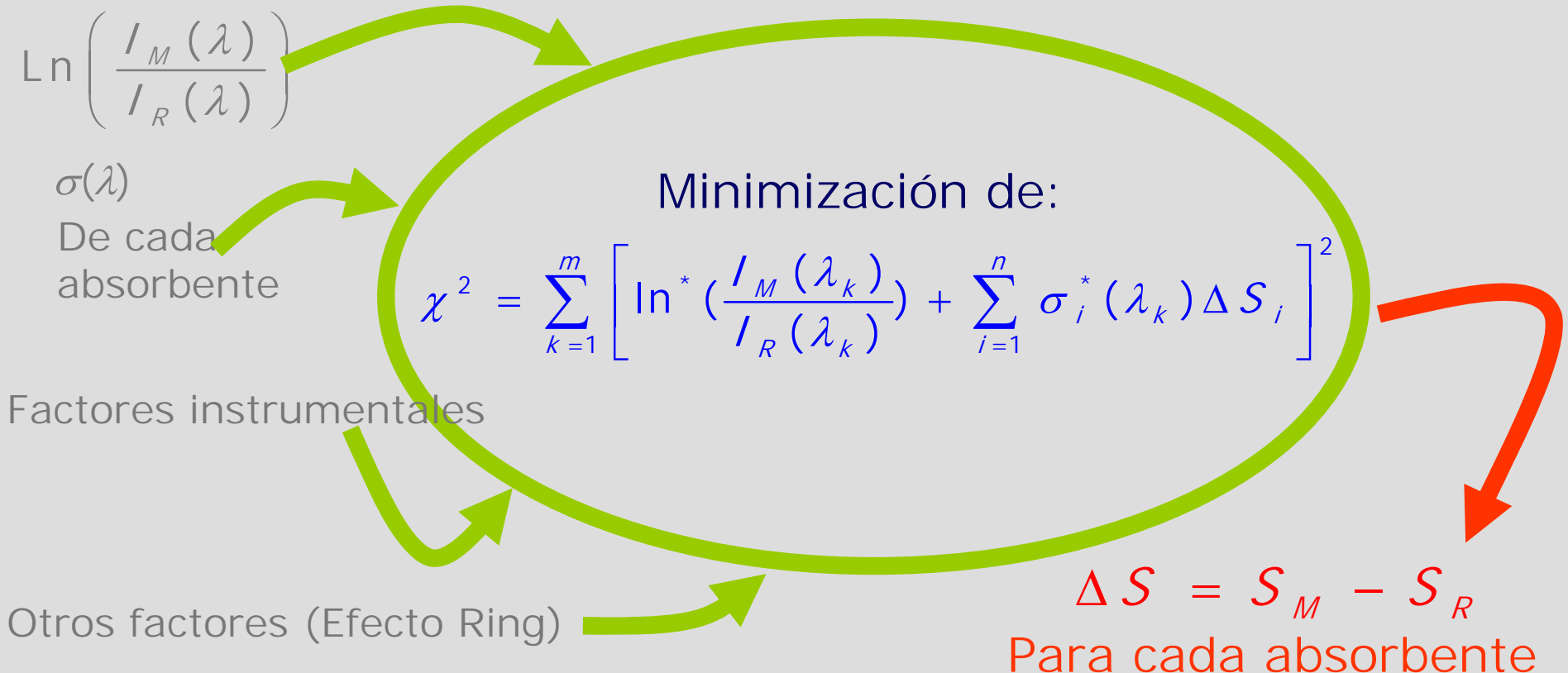
Las diferentes especies presentes en la atmósfera pueden absorber en las mismas longitudes de onda y no se puede separar la absorción que corresponde a cada una.



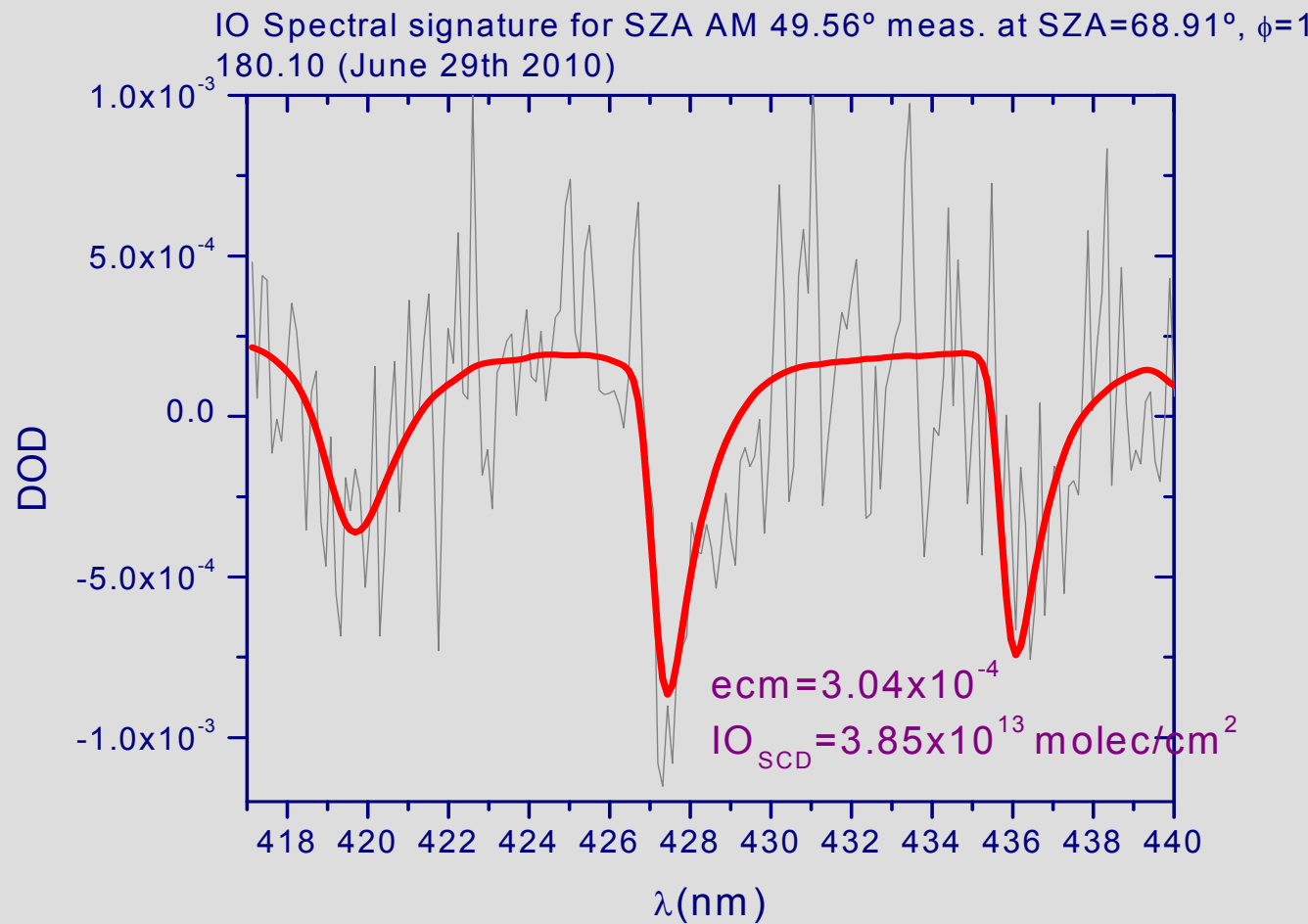
Espectroscopía de absorción diferencial en la atmósfera



Algoritmo DOAS



Huellas espectrales



$$\ln\left(\frac{I_M(\lambda)}{I_R(\lambda)}\right)$$

$$\sigma_i(\lambda)(S_{i,M} - S_{i,R})$$

Factores instrumentales

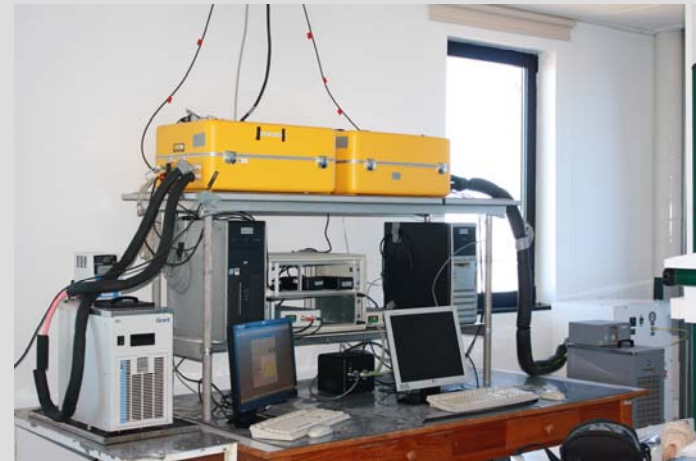
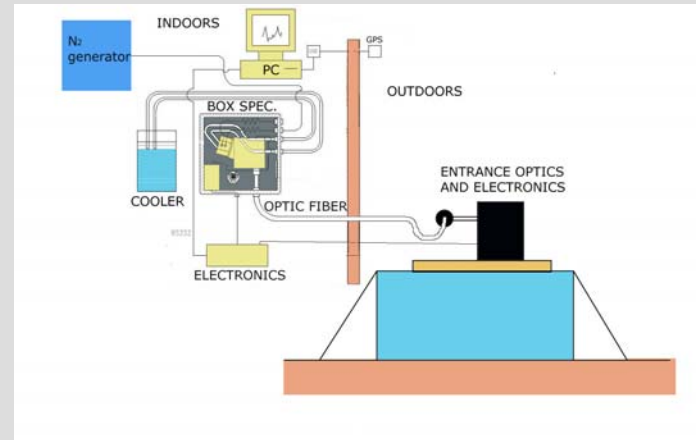
Temperatura

Resolución

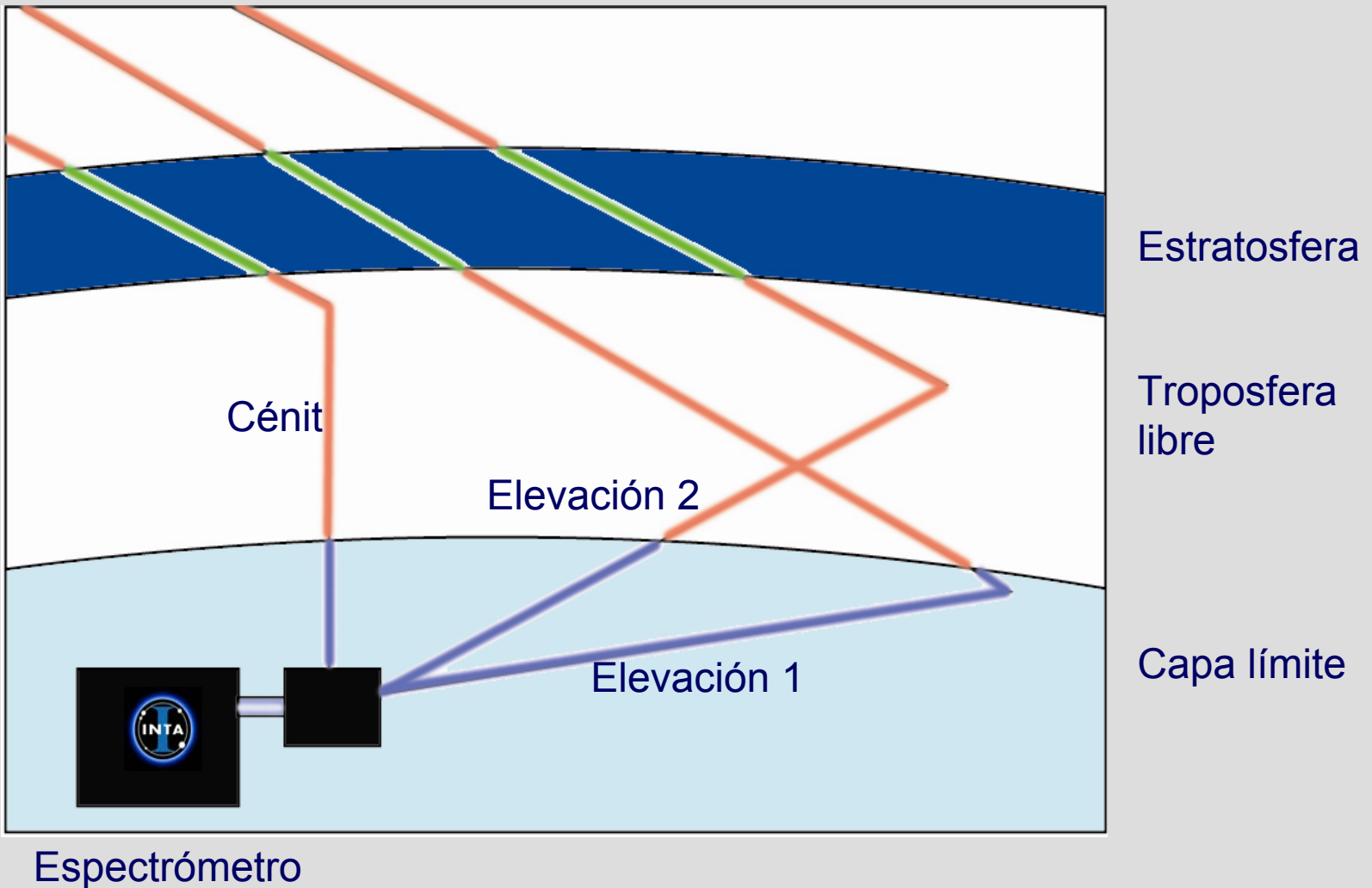
Factor de sobremuestreo

Respuesta espectral

Campo de visión (FOV)

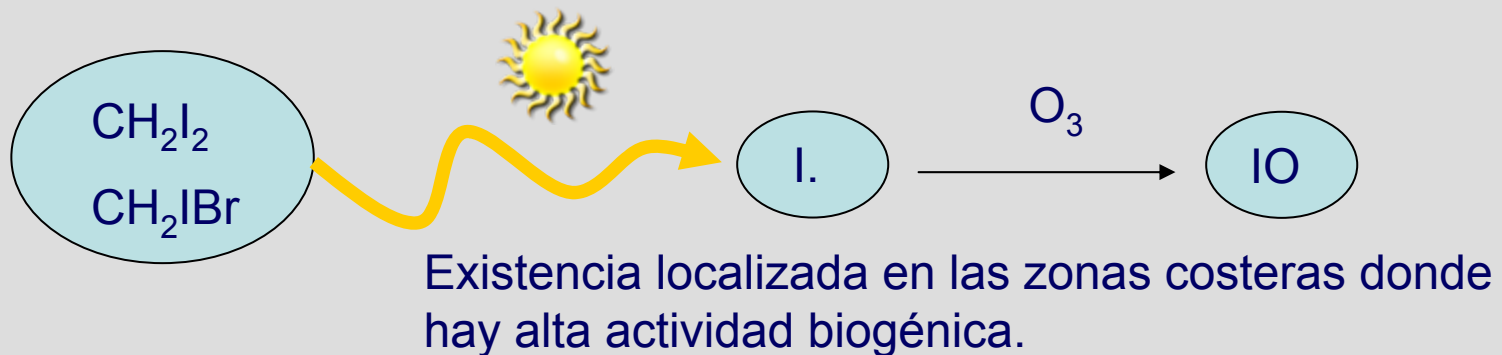


MAXDOAS fuera de los crepúsculos



Determinación de monóxido de iodo en la troposfera libre subtropical

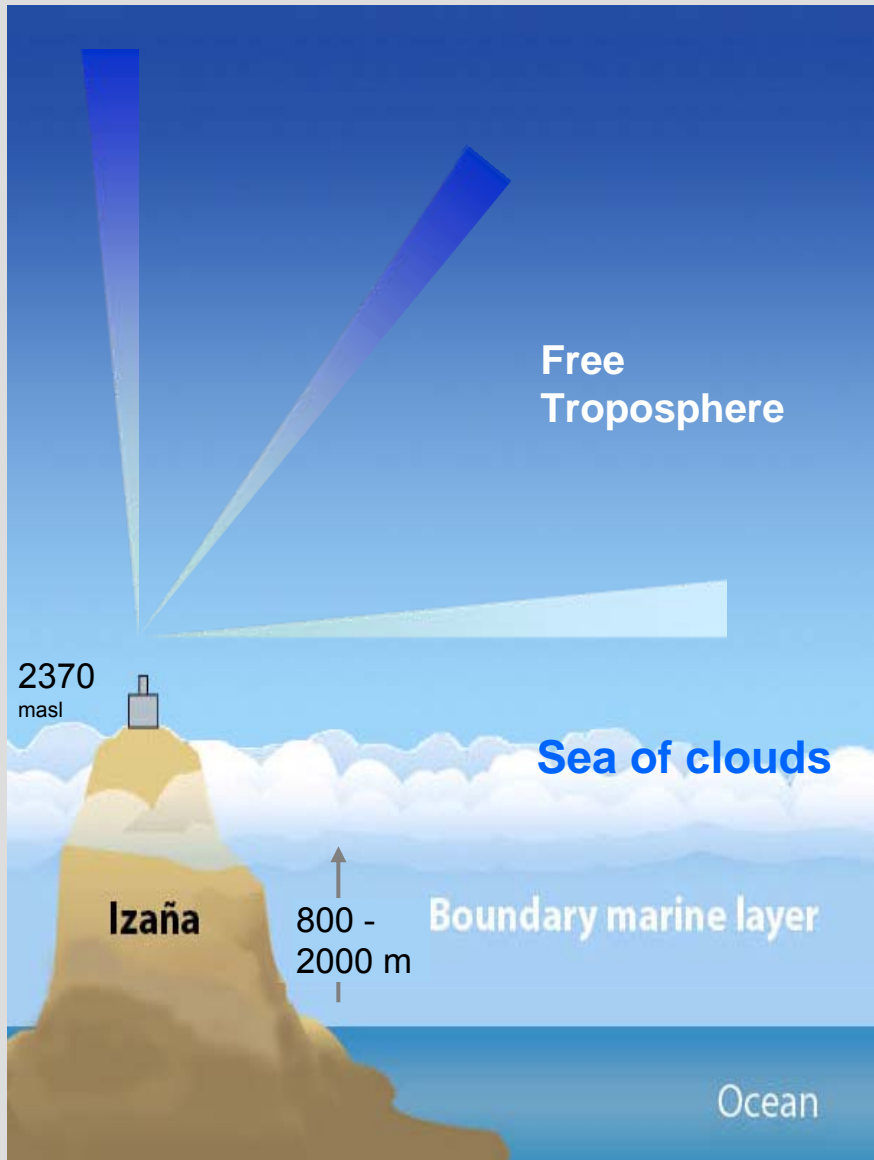
Algas: Emisión de compuestos orgánicos de tiempo de vida muy corto



Emisión de compuestos orgánicos de tiempo de vida largo



Las observaciones



Características instrumentales

RASAS II

Detector: Andor Idus

Monocromador: Shamrock

Fibra óptica: depolarizante, 6m.

FOV: 6°

Estabilización de la temperatura: $\pm 0.1^\circ\text{C}$

Resolución FWHM : 0.45-0.50 nm

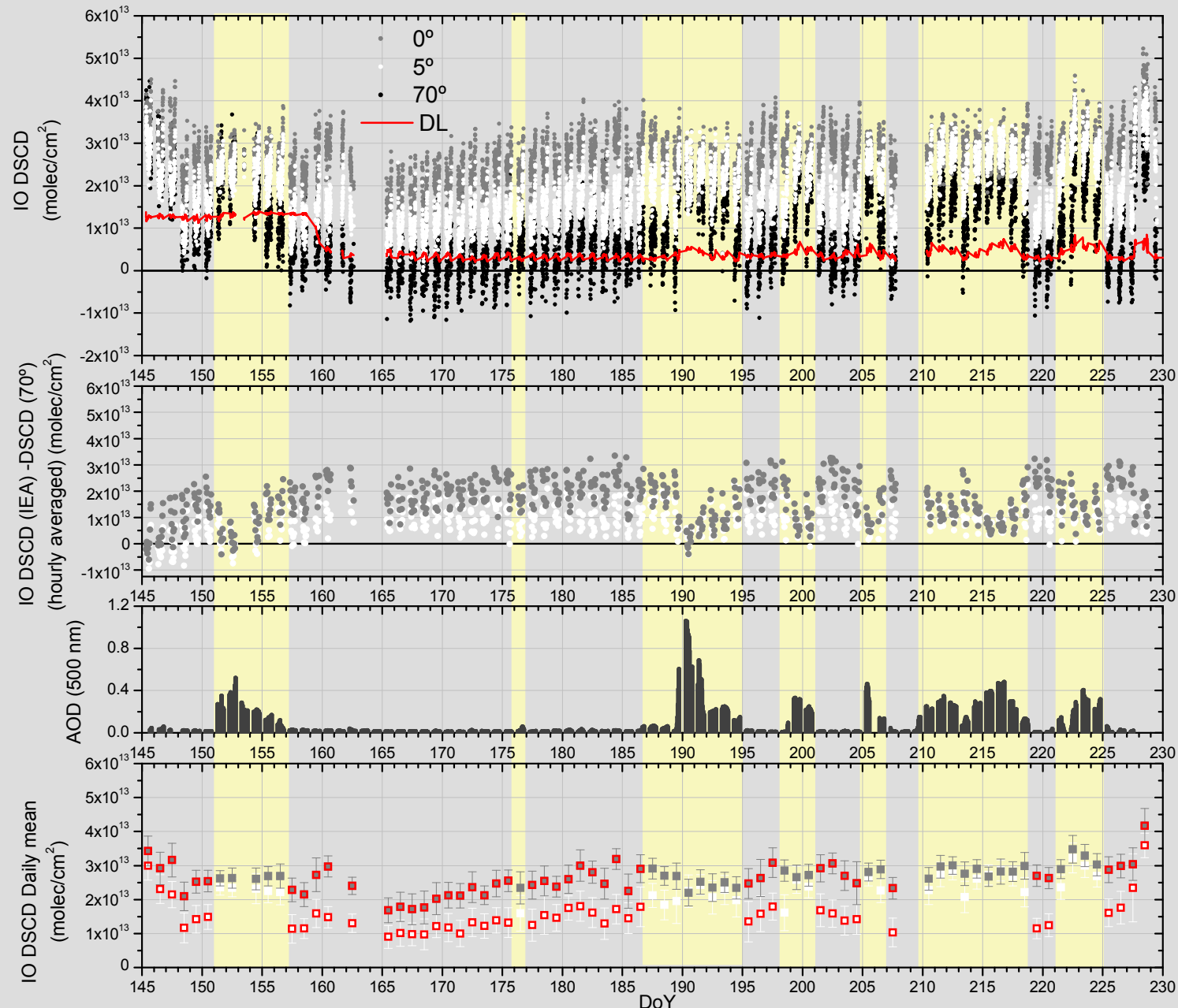
Sobremuestreo: 3.6 píxeles/ FWHM

Medidas a: -1°, 0°, 1°, 2°, 5°, 15°, 30°,
70°, 90°

Azimut 0° (orientación N)

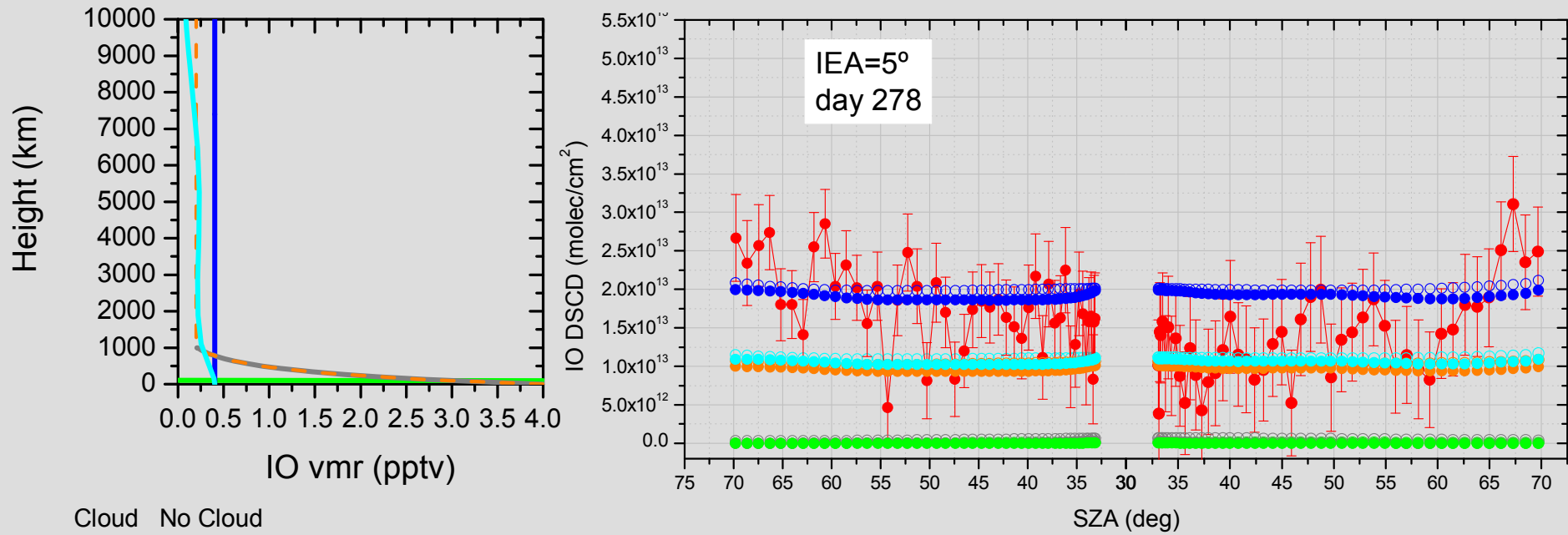


Serie de datos IO





Estimación de la proporción de IO



Cloud No Cloud

- No Cloud
- Pro
- Pro
- Pro
- Pro
- Pro
- Pro

Measured I

Measured I

IO

Límite inferior:
0.2 pptv en
troposfera libre

IO

Límite superior:
0.4 pptv en
troposfera libre

contempla la química conocida de IO.

Muchas gracias por su atención
Olga Puentedura: puentero@inta.es

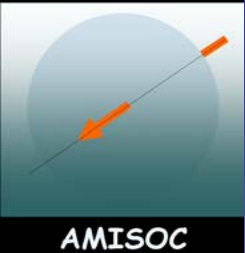


Los resultados que se presentan en este trabajo han sido obtenidos gracias a la fin
de los proyectos:

AMISOC Atmospheric Minor Species Relevant To The Ozone Chemistry At Both Side
Subtropical Jet (Cgl2011 - 24891)

NORS (Demonstration Network Of ground-based Remote Sensing Observations in
the GMES Atmospheric Service) Integrated Project under the 7th Framework Program
number FP7-SPACE-2011-284421)

GEOMON (Global Earth Observation and Monitoring) integrated Project under the 6th



Tenerife Campaign

JULY 2013

BALLOON:
 O_3 , ptu
profiles

AMISOC



Free Troposphere



AIRCRAFT: particles,
 O_3 , ptu profiles
AMAXDOAS I

FRETROS



ROFLEX
Mobile I, I_2 , Br

Pico del Teide



1 MAXDOAS
BrO, HCHO,
ó IO, O_3 , NO_2 , Glyoxal

2 MAXDOAS: BrO, HCHO, IO, O_3 , NO_2 , Glyoxal
1 LP-DOAS: I_2 , IO, OIO, BrO, NO_2 , O_3 , HCHO,
glyoxal, NO_3 , SO_2

1 TECO: O_3

1 TELEDYNE: NO_2

1 TSI: Ultrafinos

1 ROFLEX: I , I_2 , BrO, Br

MBL



MABOLAS

MAXDOAS: BrO, HCHO

IO, O_3 , NO_2 , Glyoxal

TSI: Ultrafinos

LIDAR

